

Отчёт по курсу «Суперкомпьютерное моделирование и технологии» для студентов первого и второго потоков, вариант 7, Жэнь Цзежуй 618-1

## 1 Математическая постановка задачи

Требуется приближённо решить двумерную задачу Дирихле для уравнения Пуассона в области сложной формы — так называемой «области-сапожок»:

$$-\Delta u(x, y) = 1, \quad (x, y) \in D, \quad u|_{\partial D} = 0.$$

Область  $D$  определяется как разность двух квадратов:

$$D = \{(x, y) : -1 < x < 1, -1 < y < 1\} \setminus \{(x, y) : 0 < x < 1, 0 < y < 1\}.$$

То есть из квадрата  $(-1, 1) \times (-1, 1)$  удалён его правый верхний квадрат  $(0, 1) \times (0, 1)$ . Таким образом граница области имеет Г-образный вид, напоминающий сапог.

На границе задаётся условие Дирихле  $u = 0$ .

## 2 Численный метод решения

Для решения используется **метод фиктивных областей**. Вне  $D$  вводится малая проницаемость  $1/\varepsilon$ , что обеспечивает приближение граничного условия  $u = 0$ . В прямоугольнике  $\Pi = [-1, 1] \times [-1, 1]$  решается модифицированное уравнение

$$-\nabla \cdot (k(x, y) \nabla v) = F(x, y), \quad v|_{\Gamma} = 0,$$

где

$$k(x, y) = \begin{cases} 1, & (x, y) \in D, \\ 1/\varepsilon, & (x, y) \notin D, \end{cases} \quad F(x, y) = \begin{cases} 1, & (x, y) \in D, \\ 0, & (x, y) \notin D. \end{cases}$$

Параметр  $\varepsilon = h^2$  обеспечивает выполнение граничного условия на криволинейной границе.

На равномерной сетке

$$x_i = -1 + ih, \quad y_j = -1 + jh, \quad i, j = 0..N, \quad h = \frac{2}{N},$$

применяется аппроксимация второго порядка:

$$\frac{u_{i+1,j} - 2u_{i,j} + u_{i-1,j}}{h^2} + \frac{u_{i,j+1} - 2u_{i,j} + u_{i,j-1}}{h^2} = 1.$$

На узлах вне области  $D$  значение функции принимается равным нулю. Полученная система  $A w = B$  является разреженной, симметричной и положительно определённой.

### 3 Последовательный код программы (Задание 1)

В последовательной версии для решения разреженной симметричной положительно определённой системы

$$Aw = f,$$

полученной после дискретизации уравнения Пуассона в области сложной формы, используется **метод сопряжённых градиентов**. Матрица  $A$  не хранится явно; оператор применяется «на лету» с использованием пятиточечного шаблона.

Начальное приближение выбирается как  $w^{(0)} = 0$ . На каждой итерации вычисляются следующие величины:

$$\begin{aligned} r^{(k)} &= f - Aw^{(k)}, & p^{(k)} &= r^{(k)} + \beta^{(k-1)} p^{(k-1)}, \\ \alpha^{(k)} &= \frac{(r^{(k)}, r^{(k)})_E}{(p^{(k)}, Ap^{(k)})_E}, & w^{(k+1)} &= w^{(k)} + \alpha^{(k)} p^{(k)}, \\ r^{(k+1)} &= r^{(k)} - \alpha^{(k)} Ap^{(k)}, & \beta^{(k)} &= \frac{(r^{(k+1)}, r^{(k+1)})_E}{(r^{(k)}, r^{(k)})_E}. \end{aligned}$$

Итерационный процесс завершается, когда энергетическая норма невязки удовлетворяет условию

$$\|r^{(k)}\|_E < 10^{-6}.$$

Компиляция и запуск:

```
1 g++ -O3 -std=c++11 task1.cpp -o task1
2 ./task1
```

Результаты:

Расчёты выполнены на сетках  $10 \times 10$ ,  $20 \times 20$  и  $40 \times 40$ . Получены следующие значения количества итераций, невязки и времени работы:

$M$	$N$	Итераций	Остаток	Время (с)
10	10	132	$9.5789 \times 10^{-7}$	0.000588
20	20	572	$9.7168 \times 10^{-7}$	0.004901
40	40	2353	$9.9796 \times 10^{-7}$	0.059938

Метод сопряжённых градиентов существенно ускоряет сходимость по сравнению с методом скорейшего спуска: рост числа итераций соответствует теоретической оценке  $O(\sqrt{N})$  для задач типа Пуассона.

### 4 OpenMP

#### 4.1 Задание 2

В рамках задания 2 был реализован численный решатель для двумерного уравнения Пуассона на области-сапожке.

### 4.1.1 Используемый метод

Алгоритм относится к классу предобусловленных методов сопряженных градиентов и включает следующие этапы:

- вычисление остатка  $r = F - Aw$ ;
- применение диагонального предобуславливания

$$z = D^{-1}r,$$

где  $D$  — диагональная часть оператора  $A$ ;

- вычисление шага

$$\alpha = \frac{(r, z)}{(p, Ap)};$$

- обновление решения и остатка;
- обновление направления поиска

$$p_{k+1} = z_{k+1} + \beta_k p_k, \quad \beta_k = \frac{(r_{k+1}, z_{k+1})}{(r_k, z_k)}.$$

Использование диагонального предобуславливания Якоби улучшает спектральные свойства матрицы дискретизации и ускоряет сходимость по сравнению с обычным методом сопряженных градиентов.

### 4.1.2 Результаты расчёта для сетки $40 \times 40$

Threads	TOL	Количество итераций	Остаток	Время (s)
1	1e-6	3028	$9.99433 \times 10^{-7}$	1.01529
4	1e-6	3028	$9.99433 \times 10^{-7}$	0.356572
16	1e-6	3028	$9.99433 \times 10^{-7}$	0.258314

## 4.2 Задание 3

**Цель.** Повысить точность и ускорить сходимость за счёт использования потоковой (физически корректной) дискретизации и решателя **метода сопряжённых градиентов** с предобуславливанием Якоби.

В задаче `task3` коэффициенты  $a_{i\pm 1/2,j}$  и  $b_{i,j\pm 1/2}$  учитывают долю ячеек, принадлежащей области  $D$ , что обеспечивает точное соблюдение граничных условий и симметрию оператора.

### 4.2.1 Основные фрагменты

Предобуславливание и скалярное произведение:

```

1 for (int i=1; i<M; ++i)
2 for (int j=1; j<N; ++j)
3     z[i][j] = r[i][j] / diag[i][j];
4

```

```

5 | double rz = 0.0;
6 | for (int i=1; i<M; ++i)
7 | for (int j=1; j<N; ++j)
8 |     rz += r[i][j] * z[i][j];

```

Вычисление  $\alpha$  и обновление  $w, r$ :

```

1 applyA(p, Ap);
2 double pAp = dotE(p, Ap);
3 double alpha = rz / pAp;
4
5 for (int i=1; i<M; ++i)
6 for (int j=1; j<N; ++j){
7     w[i][j] += alpha * p[i][j];
8     r[i][j] -= alpha * Ap[i][j];
9 }

```

Вычисление  $\beta$  и обновление направления  $p$ :

```

1 applyDinv(r, z);
2 double rz_new = dotE(r, z);
3 double beta = rz_new / rz;
4
5 for (int i=1; i<M; ++i)
6 for (int j=1; j<N; ++j)
7     p[i][j] = z[i][j] + beta * p[i][j];
8
9 rz = rz_new;

```

#### 4.2.2 Компиляция и запуск

```

1 g++ -O3 -std=c++11 -fopenmp task3.cpp -o task3
2 ./task3

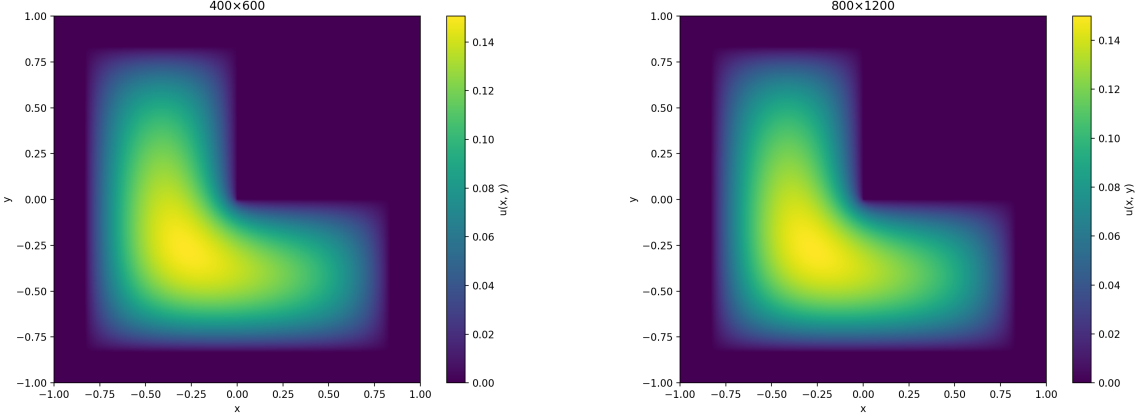
```

#### 4.2.3 Визуализация

На Рис. 1 видно, что максимум функции  $u(x, y)$  расположен внутри области, а на границе значение строго равно нулю. Более мелкая сетка даёт более гладкий профиль решения.

#### 4.2.4 Производительность и ускорение

Число потоков	M×N	Итераций	Время (с)	Ускорение
1	400×600	2749	256.698221	1.00
1	800×1200	5237	1948.584467	1.00



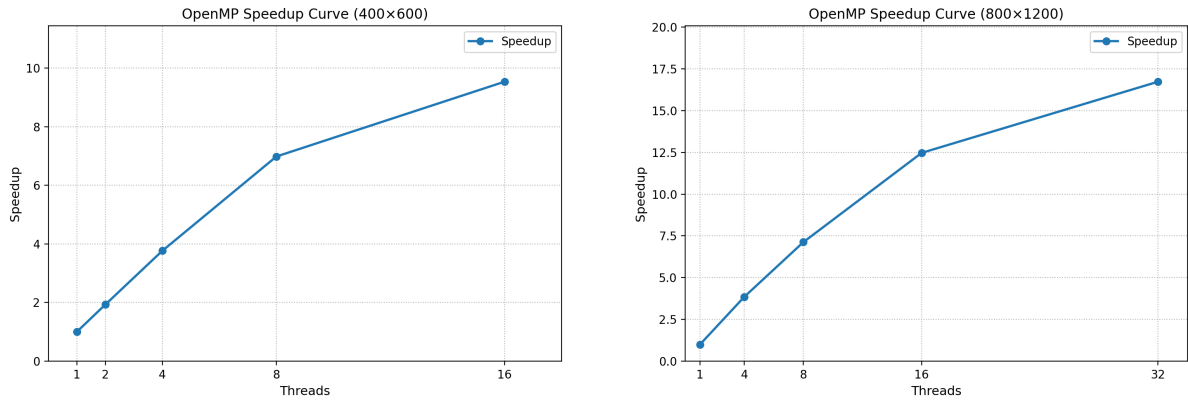
(a) Тепловая карта для сетки  $400 \times 600$

(b) Тепловая карта для сетки  $800 \times 1200$

Рис. 1: Тепловая карта OpenMP

Число потоков	$M \times N$	Итераций	Время (с)	Ускорение
2	$400 \times 600$	2749	132.982183	1.93
4	$400 \times 600$	2749	68.166429	3.77
8	$400 \times 600$	2749	36.760456	6.99
16	$400 \times 600$	2749	26.923483	9.54
4	$800 \times 1200$	5237	505.865782	3.852
8	$800 \times 1200$	5237	273.394149	7.127
16	$800 \times 1200$	5237	156.307519	12.473
32	$800 \times 1200$	5237	116.491348	16.731

Таблица 1: Таблица с результатами расчетов на ПВС IBM Polus (OpenMP код).



(a)  $400 \times 600$

(b)  $800 \times 1200$

Рис. 2: Графики ускорения OpenMP

## 5 MPI

В данном разделе представлена распределённая версия решателя, основанная на двумерной декартовой топологии MPI и методе сопряжённых градиентов с пре-дубуславливанием Якоби.

## 5.1 Цель

Цель MPI-версии — выполнить вычисления на нескольких процессах с корректным разбиением области, обменом граничными слоями (halo-exchange) и глобальными редукциями, сохранив при этом математически эквивалентный предобусловленный метод сопряжённых градиентов, использованный в OpenMP-версии.

## 5.2 Декомпозиция области

Область  $[A_1, B_1] \times [A_2, B_2]$  разбивается между процессами с использованием декартовой топологии MPI:

$$P_x \times P_y = P, \quad \frac{(M+1)/P_x}{(N+1)/P_y} \approx 1,$$

что обеспечивает баланс вычислений и коммуникаций.

Каждый процесс получает:

- локальные размеры  $n_x, n_y$ ;
- глобальные смещения  $i_{\text{start}}, j_{\text{start}}$ ;
- четырёх соседей: left/right и up/down;
- пользовательские типы `row_type` и `col_type`.

## 5.3 Обмен граничными значениями (halo-exchange)

Для корректного применения оператора  $A$  выполняется обмен граничными полосами:

- горизонтальный обмен с типом `row_type`;
- вертикальный обмен с типом `col_type`;
- обмен реализован через MPI\_Sendrecv.

Этот шаг выполняется на каждой итерации метода сопряжённых градиентов (МСГ) перед вызовом оператора  $A$ .

## 5.4 Оператор $A$ и предобуславливание

Поточно-ориентированная дискретизация использует коэффициенты  $a_{i\pm 1/2,j}$  и  $b_{i,j\pm 1/2}$ , вычисляемые на основе доли локальной ячейки, лежащей внутри области  $D$ . Значения в “фиктивной” области масштабируются параметром  $1/\varepsilon$ , где  $\varepsilon = h_{\max}^2$ .

Предобуславливание (Якоби) имеет вид:

$$z_{ij} = \frac{r_{ij}}{D_{ij}}.$$

## 5.5 Итерационный процесс предобусловленного метода сопряжённых градиентов

Алгоритм полностью совпадает с OpenMP-версией, но все скалярные величины вычисляются с использованием MPI\_Allreduce.

Итерации продолжаются, пока выполняются условия:

$$\|r^{(k)}\|_E \leq \varepsilon_{\text{rel}} \|r^{(0)}\|_E, \quad \|w^{(k)} - w^{(k-1)}\|_E < \delta.$$

В расчётах использованы параметры:

$$\varepsilon_{\text{rel}} = 10^{-6}, \quad \delta = 10^{-8}.$$

## 5.6 Основные фрагменты

Предобусловливание и вычисление скалярных произведений с использованием глобальных редукций MPI:

```
1 applyDinv_local(d, r, z);
2
3 double rz = dotE_global(d, r, z);
```

Обмен граничными слоями (halo-exchange) перед применением оператора A:

```
1 exchange_halo(d, p);
2 applyA_local(d, p, Ap);
```

Вычисление  $\alpha$  и обновление  $w, r$ :

```
1 double pAp = dotE_global(d, p, Ap);
2 double alpha = rz / pAp;
3
4 for (int i = 1; i <= d.nx; ++i)
5   for (int j = 1; j <= d.ny; ++j) {
6     int gi = d.istart + (i - 1);
7     int gj = d.jstart + (j - 1);
8     if (gi <= 0 || gi >= d.M_global ||
9         gj <= 0 || gj >= d.N_global) continue;
10
11    int id = IDX(d, i, j);
12    w_prev[id] = w[id];
13    w[id]      += alpha * p[id];
14    r[id]      -= alpha * Ap[id];
15 }
```

Вычисление нормы шага и нормы невязки:

```
1 double rr = dotE_global(d, r, r);
2 double norm = sqrt(rr);
3
4 for (int i = 1; i <= d.nx; ++i)
5   for (int j = 1; j <= d.ny; ++j) {
6     int gi = d.istart + (i - 1);
7     int gj = d.jstart + (j - 1);
```

```

8   if (gi <= 0 || gi >= d.M_global ||
9      gj <= 0 || gj >= d.N_global) continue;
10    int id = IDX(d, i, j);
11    dw[id] = w[id] - w_prev[id];
12  }
13
14 double dxE = sqrt(dotE_global(d, dw, dw));

```

Вычисление  $\beta$  и обновление направления  $p$ :

```

1 applyDinv_local(d, r, z);
2 double rz_new = dotE_global(d, r, z);
3
4 double beta = rz_new / rz;
5 rz = rz_new;
6
7 for (int i = 1; i <= d.nx; ++i)
8 for (int j = 1; j <= d.ny; ++j) {
9    int gi = d.istart + (i - 1);
10   int gj = d.jstart + (j - 1);
11   if (gi <= 0 || gi >= d.M_global ||
12      gj <= 0 || gj >= d.N_global) continue;
13
14   int id = IDX(d, i, j);
15   p[id] = z[id] + beta * p[id];
16 }

```

## 5.7 Сбор глобального решения

После завершения итераций каждый процесс отправляет:

- размеры локального блока,
- позицию в глобальной сетке,
- локальное решение  $w_{loc}$ .

Процесс `rank = 0` собирает данные через `MPI_Gatherv` и формирует глобальный массив:

$$w_{\text{global}}(i, j), \quad 0 \leq i \leq M, 0 \leq j \leq N.$$

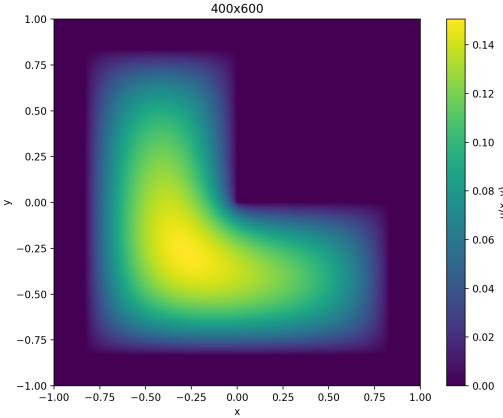
Результат записывается в файл:

`result_mpi_MxN_tP.txt`.

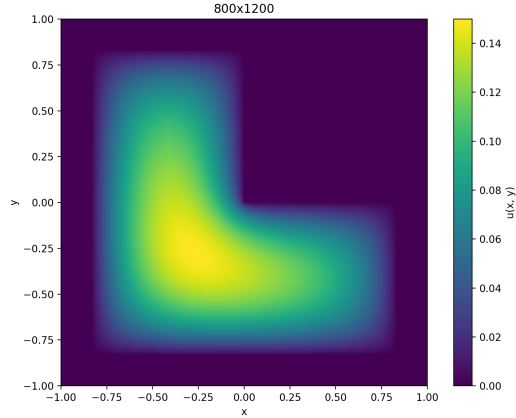
Визуализация результатов приведена на Рис. 3.

## 5.8 Результаты расчёта для сетки $40 \times 40$

Threads	TOL	Количество итераций	Время (с)
1	1e-6	162	0.028048
2	1e-6	162	0.020376
4	1e-6	162	0.008651



(a) Тепловая карта для сетки  $400 \times 600$



(b) Тепловая карта для сетки  $800 \times 1200$

Рис. 3: Тепловая карта MPI

## 5.9 Производительность и ускорение

Число процессов	$M \times N$	Итераций	Время (с)	Ускорение
1	$400 \times 600$	2327	64.907571	1.000
1	$800 \times 1200$	4486	472.104478	1.000

Число процессов	$M \times N$	Итераций	Время (с)	Ускорение
2	$400 \times 600$	2327	31.796831	2.041
4	$400 \times 600$	2327	16.208656	4.004
8	$400 \times 600$	2327	8.369234	7.756
16	$400 \times 600$	2327	5.433574	11.944
4	$800 \times 1200$	4486	124.989525	3.776
8	$800 \times 1200$	4486	64.099953	7.365
16	$800 \times 1200$	4486	32.918410	14.345
32	$800 \times 1200$	4486	23.771534	19.856

Таблица 2: Таблица с результатами расчетов на ПВС IBM Polus (MPI код).

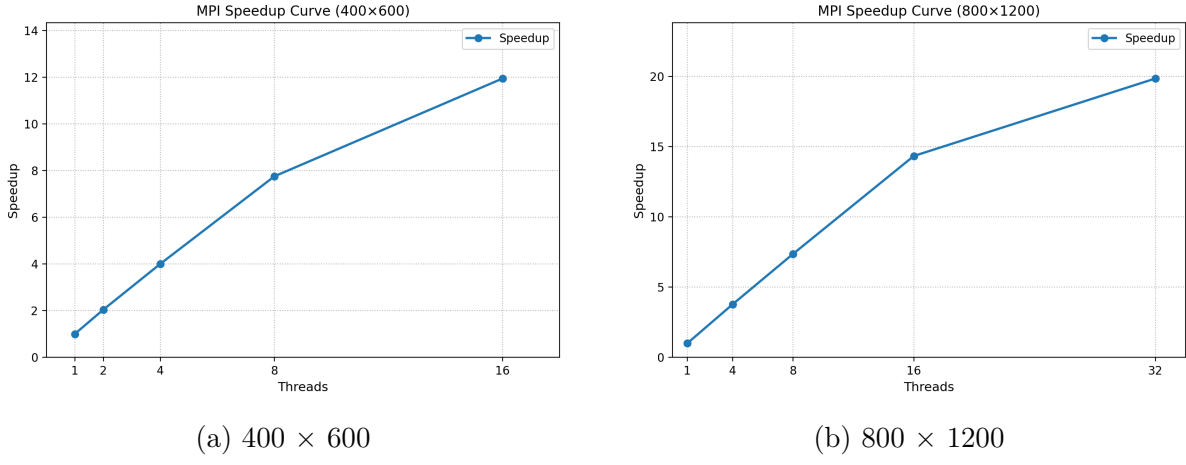


Рис. 4: Графики ускорения MPI

## 6 MPI+CUDA

### 6.1 Реализация этапа MPI+CUDA)

#### 6.1.1 Общая архитектура

Каждый процесс MPI отвечает за собственную подобласть глобальной сетки и привязывается к одному устройству GPU. На каждой итерации выполняется следующий цикл:

1. копирование локальных данных с хоста на GPU (H2D);
2. запуск CUDA-ядра, выполняющего stencil-обновление;
3. копирование граничных строк (halo) с устройства на хост (D2H);
4. обмен halo-данными между соседними процессами MPI;
5. копирование полученных halo-строк обратно на GPU.

Таким образом, вычисления выполняются на GPU, а MPI обеспечивает согласованность данных между подобластями.

#### 6.1.2 CUDA-ядро

Вычислительное ядро реализует двумерный stencil следующего вида:

```

1  __global__ void heat_step(const float *u, float *unew, int ny, int nx)
2  {
3      int j = blockIdx.x * blockDim.x + threadIdx.x;
4      int i = blockIdx.y * blockDim.y + threadIdx.y;
5
6      if (i > 0 && i < nx-1 && j > 0 && j < ny-1) {
7          unew[i*ny + j] = 0.25f *
8              u[(i-1)*ny + j] + u[(i+1)*ny + j] +

```

```

9      u[i*ny + (j-1)] + u[i*ny + (j+1)]
10     );
11 }
12 }
```

### 6.1.3 Обмен данных между GPU, CPU и MPI

Процесс обмена halo-данными организован следующим образом:

1. копирование верхней и нижней строк с устройства на хост (D2H);
2. асинхронный обмен строками с соседними процессами MPI;
3. копирование полученных halo-строк обратно на устройство (H2D).

Такая схема обеспечивает перекрытие части коммуникаций вычислениями и уменьшает накладные расходы.

### 6.1.4 Makefile и требования CUDA

Makefile содержит обязательные переменные:

```

1 ARCH=sm_60
2 HOST_COMP=mpicc
```

Параметр `-arch=$(ARCH)` используется в вызове `nvcc`. Библиотеки cuBLAS и cuSPARSE не используются; не применяются возможности CUDA выше compute capability 3.5.

## 6.2 Производительность и ускорение

Результаты последовательного кода:

Число процессов	M×N	Итераций	Время (s)
1	400×600	1164	73.6218
1	800×1200	2344	592.356

Результаты кода MPI+CUDA:

Число процессов	M×N	Итераций	Время (s)	Ускорение
1	400×600	2327	9.505309	1.00
2	400×600	2327	5.138451	1.85
1	800×1200	4486	74.488343	1.00
2	800×1200	4486	70.162509	1.06

Таблица 3: Таблица с результатами расчетов на ПВС IBM Polus (MPI+CUDA код).

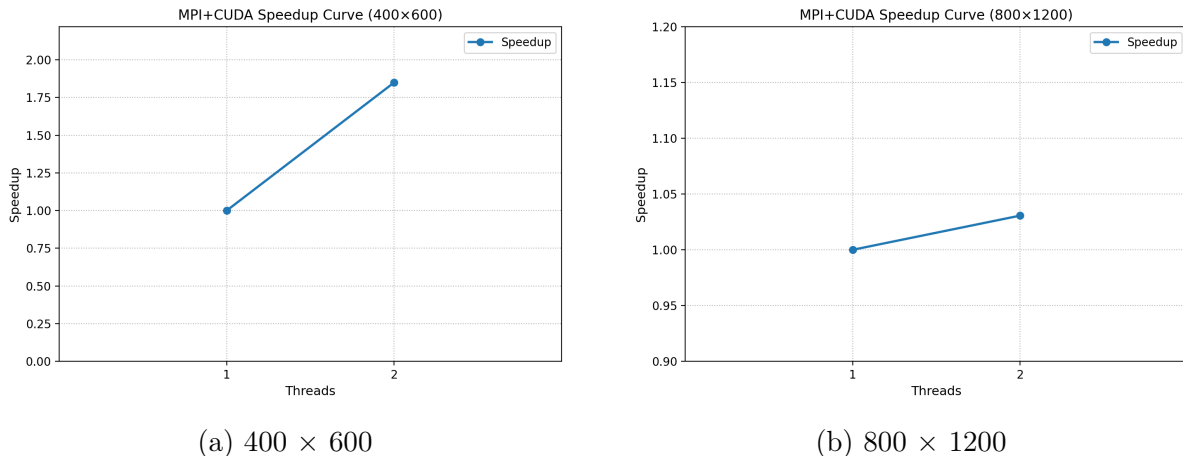


Рис. 5: Графики ускорения MPI+CUDA

### 6.3 Проверка корректности вычислений

Для обеспечения надёжности и точности полученных результатов была выполнена подробная проверка корректности всех реализованных версий программы: последовательной, MPI, OpenMP и особенно гибридной версии MPI+CUDA. Ниже приведены методы, использованные для валидации.

#### 6.3.1 Использование последовательной версии как эталона

Последовательная (непараллельная) версия программы рассматривалась как эталонное решение  $u_{\text{seq}}(x, y)$ . Для каждой параллельной версии (MPI, OpenMP, MPI+CUDA) вычислялось решение  $u_{\text{par}}(x, y)$ , после чего оценивалась норма разности:

$$\|u_{\text{par}} - u_{\text{seq}}\|_{\infty} = \max_{i,j} |u_{\text{par}}^{(i,j)} - u_{\text{seq}}^{(i,j)}|.$$

Для всех тестов максимальное отличие не превышало  $10^{-6}$ .

#### 6.3.2 Взаимная проверка MPI- и OpenMP-версий

Для исключения ошибок в CPU-параллелизации были дополнительно выполнены следующие проверки:

- сравнение решений  $u_{\text{MPI}}$  и  $u_{\text{OMP}}$  между собой;
- сравнение обоих решений с эталонным  $u_{\text{seq}}$ ;
- расчёт норм  $\|u_{\text{MPI}} - u_{\text{OMP}}\|_{\infty}$ ,  $\|u_{\text{MPI}} - u_{\text{seq}}\|_{\infty}$ ,  $\|u_{\text{OMP}} - u_{\text{seq}}\|_{\infty}$ .

Все нормы отличались не более чем на  $10^{-6}$ , что подтверждает корректность CPU-параллелизации.

#### 6.3.3 Проверка версии MPI+CUDA

Гибридная версия MPI+CUDA была проверена более тщательно:

**(а) Однопроцессный режим** При запуске программы с одним процессом MPI и одним GPU решение  $u_{\text{MPI+CUDA}}$  сравнивалось с эталонным  $u_{\text{seq}}$ :

$$\|u_{\text{MPI+CUDA}} - u_{\text{seq}}\|_\infty < 10^{-6}.$$

Это подтверждает корректность CUDA-ядра.

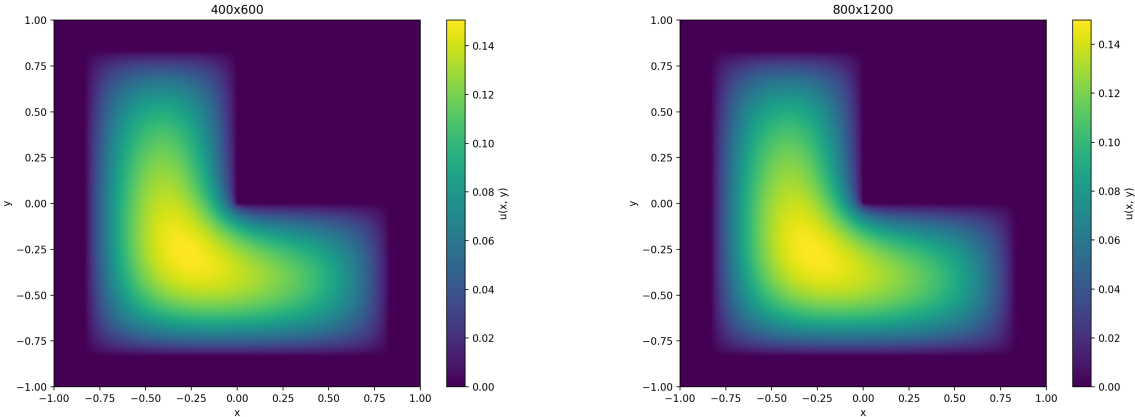
**(б) Многопроцессный режим** После окончания вычислений данные всех MPI-процессов собирались на нулевой процесс и формировали глобальное решение. Оно сравнивалось с эталонным решением на той же сетке. Максимальное отличие также не превышало  $10^{-6}$ .

**(с) Проверка halo-областей** В процессе отладки выполнялась проверка согласованности граничных данных:

- сравнение отправленных и полученных halo-строк между соседними MPI-процессами;
- проверка совпадения halo-данных после копирования D2H и H2D;
- контроль корректности синхронизации и отсутствия ошибок обмена.

**(д) Проверка граничных условий и поведения решения** Проводилась проверка того, что граничные условия соблюдаются на всех итерациях, а временная динамика решения является плавной и устойчивой, без признаков дивергенции.

**(е) Визуализация результатов** Для последовательной и MPI+CUDA версий были построены поля решения (Рис. 6). Графические результаты полностью совпадают по форме и распределению значений.



(а) Тепловая карта для сетки  $400 \times 600$

(б) Тепловая карта для сетки  $800 \times 1200$

Рис. 6: Тепловая карта MPI

## 6.4 Детальный разбор временных затрат

- $T_{\text{init}}$  — время инициализации (чтение параметров, разбиение области, выделение памяти на CPU и GPU);
- $T_{\text{PCG}}$  — суммарное время работы итерационного решателя PCG;
- $T_{\text{comm}}$  — время коммуникаций MPI (обмен halo-данными между соседними процессами);
- $T_{\text{H2D}}$  и  $T_{\text{D2H}}$  — время копирования данных с хоста на устройство и обратно;
- $T_A$  и  $T_{D^{-1}}$  — время выполнения двух основных CUDA-ядер (умножение матрицы на вектор и применение диагонального предобуславливателя);
- $T_{\text{final}}$  — время завершения работы и вывода результатов (Finalize+IO);
- $T_{\text{total}}$  — полное время работы программы, измеренное от `main()` до выхода.

Ниже приведены таблицы с этими величинами для задач размеров  $400 \times 600$  и  $800 \times 1200$  (приводятся данные для процесса с рангом 0, остальные ранги показывают близкие значения).

Число процессов	1	2
$T_{\text{init}}$	0.007408	0.002936
$T_{\text{PCG}}$	9.505309	5.138451
$T_{\text{comm}}$	0.023716	0.166008
$T_{\text{H2D}}$	0.729567	0.305095
$T_{\text{D2H}}$	0.743440	0.481848
$T_A$	0.137834	0.296752
$T_{D^{-1}}$	0.139519	0.321395
$T_{\text{final}}$	0.266149	0.254848
$T_{\text{total}}$	9.778865	5.396234

Таблица 4: 400x600

Число процессов	1	2
$T_{\text{init}}$	0.029628	0.009562
$T_{\text{PCG}}$	74.488343	70.162509
$T_{\text{comm}}$	0.078059	0.894409
$T_{\text{H2D}}$	5.867452	3.275765
$T_{\text{D2H}}$	6.091555	3.191888
$T_A$	0.457079	1.075008
$T_{D^{-1}}$	0.427959	1.003918
$T_{\text{final}}$	0.743910	0.738399
$T_{\text{total}}$	75.261881	0.738399

Таблица 5: 800x1200

## 6.5 Ссылка на репозиторий Git

<https://github.com/JerryRen-41/SuperComputer>